

界面活性 아미노사이클리톨 誘導體의 合成

孫 周 煥 · 李 昌 燮

仁荷大學校 工科大學 化學工學科

Synthesis of Surface Active Aminocyclitol Derivatives

Sohn, Joo Hwan · Lee, Chang Sup

Dept. of Chemical Engineering, Inha University, In Cheon 160, Korea

(Received March 26, 1987)

ABSTRACT

Inosamine(deoxyaminoinositol) stereomers such as *scyllo*-inosamine, *myo*-inosamine-2, *epi*-inosamine-2 and *myo*-inosamine-4 have been synthesized from *myo*-inositol (1,2,3,5/4,6-hexahydroxycyclohexane). And sixteen of quaternary ammonium salt type deoxyaminoinositols such as dimethylalkyl-deoxy-*scyllo*-inosityl-, dimethylalkyl-2-deoxy-2-*myo*-inosityl-, dimethylalkyl-2-deoxy-2-*epi*-inosityl and dimethylalkyl-4-deoxy-4-*myo*-inosityl ammonium chlorides with straight chain alkyl group having from eight to fourteen carbon atoms have been synthesized from four kinds of the inosamine stereomers. The isolation and detection of dimethylalkyl-deoxy-inosityl ammonium chlorides have been investigated by column chromatography, paper chromatography, infrared absorption spectra and elementary analysis, respectively.

I. 緒 論

비누(soap)는 옛부터 알려진 界面活性劑의 하나이다. 그러나 合成界面活性劑의 先驅는 1931年 E. Frémy가 만든 olive 油의 술aponization 反應生成物이며 그후 油脂로부터 開發된 數種 化合物이 實用됨으로서 發展되어 왔다. 오늘날 石油化學의 發達로 各種 淀水性 및 親水性 材料가 쉽게 얻어지고 이것의 連結 및 組合을 위한 化學的手段이 크게 發展되어 許多한 界面活性劑가 合成되기에 이르렀다. 그러나 이들 化合物의 產業上 使用이 急增함에 따라 環境汚染을 비롯하여 保健學的側面에서의 諸般安定性, 그리고 界面活性劑의 보다合理的인 活用이라는側面에서 考察하면 必然 몇 가지 考慮해야 할 問題가 隨伴된다. 즉 親水 및 淀水性 材料의 再評價, 이것의 連結試藥에 대한 再檢討, 性能과 分子構造와의 關係, 그리

고 이와 關聯된 界面活性劑分子設計의合理的한 改良과 新機能의 探索등에 대한 檢討가 必要하다 하겠다. 그러나 先行되어야 할 點은 界面活性劑의 合成素材를 단지 石炭이나 石油에만 依存할 것이 아니라 石油의 有限說이 實際問題로 舉論되고 있는 現視點에서 石油代替資源의 開發이야말로 時急한 課題의 하나이다. 이와 같은 觀點에서 糖類의 資源化에 대하여 興味를 가져볼만하다. 따라서 本研究室에서는 糖類를 親水性成分으로 한 數種의 界面活性劑를 合成하여 報告한 바 있다^{1,2)}.

本研究는 分子構造가 糖類와 密接하게 關聯된 inositol(I)로부터 界面活性劑를 誘導할 것에 目的을 두었다. I에는 9種의 立體異性體가 알려져 있고 이 가운데 *myo*-inositol(*myo*-I)은 1,2,3,5/4,6-hexahydroxycyclohexane에 대한 名稱이다. 이것은 農產廢物 특히 쌀겨(rice bran)에 約 15% 포함된 phytin을 加水分解하여 比較的 工業的規

模로 얻을 수 있어 糖類에 벼금가는 炭素資源이라 하겠다. 따라서 本研究에서는 *myo*-II를 酸化하여 *myo*-inosose-2 (*my*-I_o), 및 *DL-epi*-inosose-2 (*ep*-I_o) 등을 얻고 이것들의 phenylhydrazone 및 oxime 등을 還元하여 *scy whole*-inosamine (*sc*-IA), *myo*-inosamine-2 (*my*-IA2), *epi*-inosamine-2 (*ep*-IA2), 및 *myo*-inosamine-4 (*my*-IA4) 등을 얻어 이것들을 디메틸화한 다음 炭素原子數 8~14範圍의 알킬基가 導入된 제4차 암모늄鹽型化合物에 到達시켰다.

II. 材料 및 方法

1. 試藥 및 機器

my-II은 Analab 製, 疎水性材料와 크로마토그래피用 및 그 밖의 試藥類는 Tokyo Kasei 製 特級 또는 一級試藥을 使用하였다. 이들의 녹는點 또는 暖는點等은 文獻과 잘一致한다. 녹는점은 Electrothermal 微量熔融點測定裝置(英製), 赤外線吸收스펙트럼은 Shimazu IR-420, 赤外線分光光度計, 元素分析은 Yanaco MT-3 CHN corder를 각각 使用하였다.

2. Inosose類의 合成

my-II로 부터 Heyns의 方法³⁾에 따라 Adams觸媒⁴⁾存在下空氣酸化하여 *my*-I_o를 얻었다. 그리고 Posternak의 方法⁵⁾에 따라 *my*-II를 硝酸으로 氧化하여서 *ep*-I_o를 얻었다.

my-I_o: 白色結晶, mp. 197°~198°C (dec.), 文獻
値³⁾, 198°C (dec.).

ep-I_o: 白色結晶, mp. 197°~200°C (dec.), 文獻
値⁵⁾, 198°~200°C (dec.).

3. Phenylhydrazone類의 合成

Posternak의 方法⁶⁾에 따라 *my*-I_o 및 *ep*-I_o로부터 phenylhydrazine을 反應시켜 얻은 것을 methanol에서 再結晶하였다.

myo-inosose-2 phenylhydrazone (*my*-IOP): 白色針狀結晶, mp. 176°C (dec.), 文獻
値⁶⁾, 176°~177°C (dec.).

epi-inosose-2 phenylhydrazone (*ep*-IOP): 白色結晶, mp. 190°~195°C (dec.), 文獻
値⁶⁾, 185°~194°C (dec.).

4. Oxime의 合成

May의 方法⁷⁾에 따라 *ep*-I_o와 hydroxylamine을 反應시켜 얻은 것을 ethanol에서 再結晶하였다.

ep-I_o oxime: 白色針狀結晶, mp. 151°~152°C (dec.), 文獻
値⁷⁾, 150°~151°C (dec.).

5. Inosamine類의 合成

Carter의 方法⁸⁾에 따라 *my*-IOP 36g을 methanol 200m/에 溶解하고 Raney nickel 10g과 Parr hydrogenator에 넣어 130°C로 調節하면서 水素壓 7氣壓下 12時間 水素化하고 아세트酸無水物과 反應시켜 hexaacetyl誘導體를 만들어 methanol性水酸化칼륨溶液으로 處理하여 N-acetyl誘導體로 變換시켜 鹽化水素酸으로 加水分解하여서 *sc*-IA을 얻었다. *my*-IA2는 Latham의 方法⁹⁾에 따라 *my*-IOP 10g을 물 100mL, methanol 100m/의 混合溶媒에 溶解하고 酸化白金 1g과 Parr hydrogenator에 넣고 水素壓 7氣壓下 60°C에서 12時間 水素化하고 아세트酸無水物과 反應시켜 hexaacetyl誘導體를 만들어 鹽化水素酸으로 加水分解하여서 얻었다. *ep*-IA2는 Carter의 方法⁸⁾에 따라 *ep*-IOP 10g을 methanol 100m/에 溶解하여 酸化白金 1g과 Parr hydrogenator에 넣어 水素壓 7氣壓下 130°C에서 5時間 水素化하고 아세트酸無水物과 反應시켜 hexaacetyl誘導體를 얻어 鹽化水素酸으로 加水分解하여 얻었다. *my*-IA4는 Anderson의 方法¹⁰⁾에 따라 *ep*-I_o oxime 10%水溶液 100m/에 sodium amalgam 25g을 10回에 나누어 넣어 還元하고 아세트酸無水物과 反應시켜 hexaacetyl誘導體를 얻어 Suami의 方法¹¹⁾에 따라 methanol性 암모니아로 處理하여 N-acetyl誘導體를 얻어 Straube-Rieke의 方法¹²⁾을 適用하여 水酸化바륨으로 加水分解하여 얻었다.

sc-IA: 白色結晶, mp. 260°C (dec.), 文獻
値⁸⁾, 260°C (dec.), N-acetyl化合物: 白色結晶, mp. 288°~290°C, 文獻
値⁸⁾, 289°~291°C.

my-IA2: 白色結晶, mp. 236°~237°C, 文獻
値⁹⁾, 236°~237°C, hexaacetyl化合物: 白色結晶, mp. 258°~259°C, 文獻
値⁹⁾, 259°~260°C.

ep-IA2: 白色結晶, mp. 234°~235°C (dec.), 文獻
値⁸⁾, 234°~236°C (dec.), hexaacetyl化合物: 白色針狀結晶, mp. 191°~192°C, 文獻
値⁸⁾, 192°~194°C.

my-IA4: 白色結晶, mp. 235°~240°C (dec.), 文獻
値¹²⁾, 210°~250°C (dec.), N-acetyl化合物: 白色針狀結晶, mp. 269°~271°C (dec.), 文獻
値¹²⁾, 270°~271°C (dec.).

6. N,N-dimethylaminodeoxyinositol類의 合成

sc-IA에 대하여는 Holland의 方法¹³⁾을, *my*-IA2 및 *my*-IA4에 대하여는 Latham의 方法⁹⁾을, *ep*-IA2에 대하여는 May의 方法⁷⁾을 각각 適用하여 37% formalin과 98% 포름酸混合物을 反應시켜 디메틸화하고 鹽化水素酸으로 處理하여 N,N-dimethylaminodeoxyinositol(DAI)類의 鹽化水素酸을 각각 얻었다.

N,N-dimethylaminodeoxy-*scyllo*-inositol(DA-*sc*-II) : 白色結晶, mp. 221°~223°C, 文獻¹³⁾, 222~223°C

2-(N,N-dimethylamino)-2-deoxy-*myo*-inositol(2DA-*my*-II) : 白色結晶, mp. 218°~220°C, 文獻⁸⁾, 218~220°C

2-(N,N-dimethylamino)-2-deoxy-*epi*-inositol(2DA-*ep*-II) : 白色結晶, mp. 224°~226°C (dec.), 文獻⁷⁾, 223°~225°C (dec.)

4-(N,N-dimethylamino)-4-deoxy-*myo*-inositol(4DA-*my*-II) : 白色結晶, mp. 226°~227°C (dec.), 文獻⁹⁾, 225°~227°C

7. 암모늄鹽型 誘導體의 合成

Holland의 方法¹³⁾을 參照하여 DAI類에 碳素原子數 8~14範圍의 알킬基를 導入하여 얻었다. 즉 DAI類의 鹽化水素酸鹽 각 10g 을 碳酸水素나트륨水溶液 60ml에 溶解하여 冷藏庫內에 24時間 靜置하여 析出物을 거르고 염음물로 씻은 다음 真空乾燥하였다. 다음 測溫計, 冷却器, 密閉된 Hirschberg 것 개등이 불은 500ml 容量 등근바닥플라스크에 DAI類 0.04 mole과 ethylacetate 200ml 를 넣고 1-chloroalkane類 0.2 mole 을 넣어 70°C에서 96時間 잘 저으면서 反應시켰다. 여기서 1-chloroalkane類의 碳素原子數는 8, 10, 12 및 14이다. 反應이 完結하면 0°C로 冷却하고 冷藏庫內에 24時間 靜置하여 生成된 白色結晶을 速小分離하여 少量의 ethylacetate로 3回 씻고 methanol에서 再結晶하여 다음 16種의 dimethylalkyl-deoxy-inositol ammonium chloride(DALAC)類를 얻었다.

dimethyloctyl-deoxy-*scyllo*-inositol ammonium chloride(DOC-*sc*-IAC) : 收率 14.2%, mp. 164°~166°C (dec.).

Anal. Calcd. for C₁₆H₃₄ClNO₅: C, 54.0; H, 9.6; N, 3.9. Found: C, 54.6; H, 9.4; N, 3.8

dimethyldecyl-deoxy-*scyllo*-inositol ammonium chloride(DDE-*sc*-IAC) : 收率, 13.8%, mp. 190°~192°C (dec.).

Anal. Calcd. for C₁₈H₃₈ClNO₅: C, 56.3; H, 10.0; N, 3.6. Found: C, 56.7; H, 10.2; N, 3.7

dimethyldodecyl-deoxy-*scyllo*-inositol ammonium chloride(DDO-*sc*-IAC) : 收率, 16.3%, mp. 176°~179°C (dec.).

Anal. Calcd. for C₂₀H₄₂ClNO₅: C, 58.3; H, 10.3; N, 3.4. Found: C, 58.8; H, 10.1; N, 3.6

dimethyltetradecyl-deoxy-*scyllo*-inositol ammonium chloride(DTE-*sc*-IAC) : 收率, 18.2%, mp. 199°~200°C (dec.).

Anal. Calcd. for C₂₂H₄₆ClNO₅: C, 60.0; H, 10.5; N, 3.2. Found: C, 50.7; H, 10.9; N, 3.0

dimethyloctyl-2-deoxy-2-*myo*-inositol ammonium chloride(DOC-2*my*-IAC) : 收率, 12.4%, mp. 162°~164°C (dec.).

Anal. Calcd. for C₁₆H₃₄ClNO₅: C, 54.0; H, 9.6; N, 3.9. Found: C, 53.8; H, 9.7; N, 3.4

dimethyloctyl-2-deoxy-2-*myo*-inositol ammonium chloride(DDE-2*my*-IAC) : 收率, 10.8%, mp. 186°~189°C (dec.).

Anal. Calcd. for C₁₈H₃₈ClNO₅: C, 56.3; H, 10.0; N, 3.6. Found: C, 55.9; H, 10.1; N, 3.5

dimethyldodecyl-2-deoxy-2-*myo*-inositol ammonium chloride(DDO-2*my*-IAC) : 收率, 13.2%, mp. 172°~174°C (dec.).

Anal. Calcd. for C₂₀H₄₂ClNO₅: C, 58.3; H, 10.3; N, 3.4. Found: C, 58.0; H, 10.0; N, 3.5

dimethyltetradecyl-2-deoxy-2-*myo*-inositol ammonium chloride(DTE-2*my*-IAC) : 收率, 15.0%, mp. 194°~195°C (dec.).

Anal. Calcd. for C₂₂H₄₆ClNO₅: C, 60.0; H, 10.5; N, 3.2. Found: C, 59.1; H, 11.2; N, 3.3

dimethyloctyl-2-deoxy-2-*epi*-inositol ammonium chloride(DOC-2*ep*-IAC) : 收率, 14.6%, mp. 175°~177°C (dec.).

Anal. Calcd. for C₁₆H₃₄ClNO₅: H, 9.6; N, 3.9. Found: C, 54.2; H, 9.8; N, 3.8

dimethyldecyl-2-deoxy-2-*epi*-inositol ammonium chloride(DDE-2*ep*-IAC) : 收率, 15.3%, mp. 190°~194°C (dec.).

Anal. Calcd. for C₁₈H₃₈ClNO₅: C, 56.3; H, 10.0; N, 3.6. Found: C, 56.4; H, 9.9; N, 3.7

dimethyl dodecyl - 2 - deoxy - 2 - *epi* - inosityl ammonium chloride (DDO - 2 *ep* - IAC) : 收率, 14.5%, mp. 198° ~ 190°C (dec.).

Anal. Calcd. for C₂₀H₄₂ClNO₅: C, 58.3; H, 10.3; N, 3.4. Found : C, 58.7; H, 10.4; N, 3.2

dimethyltetradecyl - 2 - deoxy - 2 - *epi* - inosityl ammonium chloride (DTE - 2 *ep* - IAC) : 收率, 17.3%, mp. 202 ~ 203 (dec.).

Anal. Calcd. for C₂₂H₄₆ClNO₅: C, 60.0; H, 10.5; N, 3.2. Found : C, 59.8; H, 10.8; N, 3.4

dimethyloctyl - 4 - deoxy - 4 - *myo* - inosityl ammonium chloride (DOC - 4 *my* - IAC) : 收率, 15.3%, mp. 181° ~ 183°C (dec.).

Anal. Calcd. for C₁₆H₃₄ClNO₅: C, 54.0; H, 9.6; N, 3.9. Found : C, 53.8; H, 9.2; N, 3.7.

dimethyldecyt - 4 - deoxy - 4 - *myo* - inosityl ammonium chloride (DDE - 4 *my* - IAC) : 收率, 14.9%, mp. 198° ~ 200°C (dec.).

Anal. Calcd. for C₁₈H₃₈ClNO₅: C, 56.3; H, 10.0; N, 3.6. Found : C, 56.7; H, 10.3; N, 3.5

dimethyl dodecyl - 4 - deoxy - 4 - *myo* - inosityl ammonium chloride (DDO - 4 *my* - IAC) : 收率, 17.1%, mp. 201° ~ 203°C (dec.).

Anal. Calcd. for C₂₀H₄₂ClNO₅: C, 58.3; H, 10.3; N, 3.4. Found : C, 57.9; H, 10.8; N, 3.3

dimethyltetradecyl - 4 - deoxy - 4 - *myo* - inosityl ammonium chloride (DTE - 4 *my* - IAC) 收率 14.8%, mp. 210° ~ 212°C (dec.).

Anal. calcd. for C₂₂H₄₆ClNO₅: C, 60.0; H, 10.5; N, 3.2. Found : C, 59.7; H, 10.9; N, 3.0

8. 反應生成物의 分析 및 確認

inosose類는 Angyal의 方法¹⁴⁾으로 종이 크로마토그래피에 의하여 분석하였고 점적의 검出은 Trevelyan의 方法¹⁵⁾을適用하였다. inosamine類는 Iinuma의 方法¹⁶⁾에 따라 silica gel (Wakogel G 200), methanol-chloroform - 17% aq. ammonia (4:1:1, v/v)系管크로마토그래피에 의하여 분리하고 Fischer의 方法¹⁷⁾으로 종이 크로마토그래피에 의하여 분석하였다. 그리고 Straube-Rieke의 方法¹⁸⁾에 따라 N → O acyl migration試驗으로 立體配置를 檢討하였다. 제4차 암모늄鹽型化合物類는 Waters의 方法¹⁹⁾에 따라 Amberlite CG 400 (Cl⁻型, 100 ~ 200 mesh), 55% methanol - 0.5 M 鹽化나트륨水溶液 (5:5, v/v)系管크로마토그래피에 의하여 분리하고 Gadsen의 方

法¹⁹⁾, 으로 종이 크로마토그래피에 의하여 分析하였다. 이때 점적의 檢出은 Block의 方法²⁰⁾을適用하여 褐色 또는 黑色 점적으로 觀察하였다. 그리고 제4차 암모늄鹽型化合物類에 대하여는 赤外線吸收스펙트럼을 얻어 檢討하고 또 元素分析等의 結果로 미루어 그 構造를 確認하였다.

III. 結果 및 考察

1. 종이 크로마토그래피의 結果

*my-II*을 II-2의 方法에 의하여 酸化한 生成物 *my-Io* 및 *ep-Io* 등의 phenylhydrazone, *ep-Io* oxime 등을 II-5의 方法에 의하여 還元하여 얻은 化合物 그리고 II-7의 方法에 의하여 合成한 제4차 암모늄鹽型誘導體類에 대하여 II-8의 方法을適用한 종이 크로마토그래피의 結果는 Table 1 및 2와 같다.

Table 1에서 보면 *my-II*의 酸化生成物의 종이 크로마토그래피結果로 얻은 R_f값 0.22는 *my-Io*, 그리고 0.26은 *ep-Io*의 文獻上의 R_f값¹⁴⁾과 잘一致한다. 그리고 이들의 phenylhydrazone 또는 oxime等의 還元生成物의 종이 크로마토그래피의 結果로 얻은 R_f값 0.13, 0.15, 0.11, 0.14 등은 각각 *sc-IA*, *my-IA2*, *ep-IA2* 및 *my-IA4* 등의 文獻上의 R_f값¹⁷⁾과 잘一致한다. 그리고 제4차 암모늄鹽型化合物

Table 1. Paper chromatographic behavior of oxidation and amination products of my-II

Compods	R _f + Values × 100	
	A	B
<i>my</i> - IO	22	
<i>ep</i> - IO		26
<i>sc</i> - IA		13
<i>my</i> - IA2		15
<i>ep</i> - IA2		11
<i>my</i> - IA4		14

Paper : Whatman No.1 paper for chromatography (4 × 45cm)

Developer : A. acetone - water (4:1, v/v) system
B. Fischer-Dorfel solution system¹⁷⁾

Detection of spot : oxidation products, Trevelyan method¹⁵⁾

amination products, ninhydrin-acetone reagent²¹⁾

Condition : ascending development, temperature 25°C, relative humidity 50~60%

Table 2. Paper chromatographic behavior of quaternary ammonium salt type derivatives.

Compods	R_f Values $\times 100$		Compods	R_f Values $\times 100$	
DOC-sc-IAC	84	32	DOC-2-ep-IAC	88	44
DDE-sc-IAC	81	45	DDE-2-ep-IAC	85	36
DDO-sc-IAC	79	28	DDO-2-ep-IAC	82	28
DTE-sc-IAC	83	33	DTE-2-ep-IAC	94	41
DOC-2-my-IAC	84	23	DOC-4-my-IAC	89	34
DDE-2-my-IAC	91	31	DDE-4-my-IAC	93	37
DDO-2-my-IAC	87	42	DDO-4-my-IAC	90	40
DTE-2-my-IAC	88	36	DTE-4-my-IAC	86	33

Paper : Whatman No. 1 paper for Chromatography (4 x 45cm)

Developer : A Phenol-aq. buffer solution (4:1, v/v) system (aq. buffer solution contained 6.3% sodium citrate and 3.7% potassium dihydrogen phosphate)

B butanol-propanoic acid-water (4:2:3, v/v) system

Detection of spot : Block reagent 20)

Condition : ascending development, temperature 25°C, relative humidity 50-60%

은 이 溶媒系에서 比較的 잘 分離되고 [A]溶媒系에서 R_f 값은 0.79~0.94範圍에서 觀察되고 [B]溶媒系에서는 R_f 값이 0.23~0.45範圍에서 觀察되었다.

2. N→O acyl migration의 結果 및 考察

Straube-Rieke의 方法¹²⁾에 따른 sc-IA, my-IA2, ep-IA2 및 my-IA4 등의 N→O acyl migration의 結果는 Fig. 1과 같다.

Fig. 1에서 보는 바와 같이 ep-IA2 및 my-IA2의 N→O acyl migration은 my-IA4 및 sc-IA보다 매우 빠르게進行된다는事實이 觀察되었다. 아미노基와 隣接된 히드록시基가 서로 cis配列인 경우 N→O acyl migration은 trans配列인 경우보다 빠르다는 것이 Straube-Rieke에 의하여 알려져 있다. 따라서 4種의 inosamine類中에서 ep-IA2 및 my-IA2의 아미노基와 히드록시基는 必然 cis配列이어서 axial-equatorial-equatorial-axial의 conformation이라는事實이 分明하다.

3. 赤外線吸收スペクト럼의 檢討

II-7의 方法에 의하여 合成한 제4차 암모늄鹽型誘導體類의 赤外線吸收スペクト럼은 Table 3과 같다.

이 化合物들은 水素結合에 의한 幅넓은 強한 absorption가 觀察되며 2865~2700 cm⁻¹範圍에서 ν_{N-CH_3} 와 1480~1440 cm⁻¹範圍에서 ν_{C-H_2} -等의 stretching vibration을 觀察할 수 있다. 그리고 이를 스펙트럼

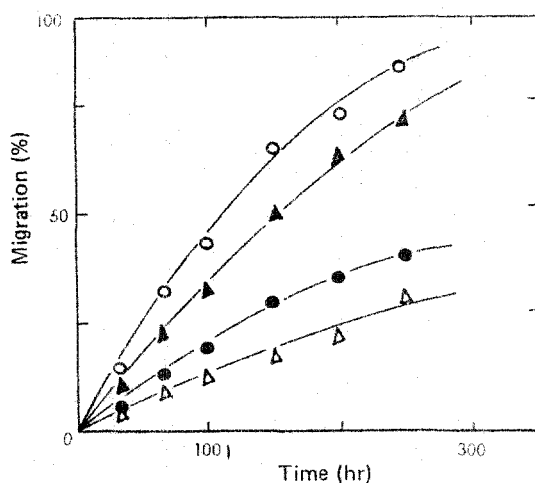


Fig. 1. N→O acyl migration of various inosamines

○ : ep-IA2 ● : my-IA2
△ : sc-IA ▲ : my-IA4

에서는 3500 cm⁻¹ 및 3400 cm⁻¹附近에서 觀察할 수 있는 1次 아민의 特性 absorption 2500 cm⁻¹附近과 1200 cm⁻¹附近에서 볼 수 있는 3次 아민의 ν_{C-N} 의 stretching vibration을 찾아 볼 수 없다. 그러나 1345~1190 cm⁻¹領域에 걸쳐 長鎖狀 알킬基의 methylene에서 由來되는 wagging에 의한 작은 absorption가 거의 等間隔으로 나타나 있다. 따라서 종이 크로마

Table 3. Principal infrared characteristic absorption bands of various quaternary ammonium salts type derivatives.

Compods	absorption maxima, cm ⁻¹				
	OH	N-CH ₃	-CH ₂ -	finger print region	
		2785 (s)	1460 (s)	710 (s)	920 (m) 810 (w)
DDE-sc-IAC	V. br	2850 (s)	1480 (s)	720 (s)	935 (m) 808 (w)
DDO-sc-IAC	V. br	2825 (s)	1440 (s)	725 (s)	924 (m) 755 (m)
DTE-sc-IAC	V. br	2816 (s)	1455 (s)	740 (s)	950 (m) 755 (w)
DOC-2my-IAC	V. br	2865 (s)	1458 (s)	710 (s)	950 (m) 840 (m)
DDE-2my-IAC	V. br	2750 (s)	1440 (s)	730 (s)	920 (m) 850 (m)
DDO-2my-IAC	V. br	2775 (s)	1472 (s)	745 (s)	940 (m) 820 (m)
DTE-2my-IAC	V. br	2745 (s)	1463 (s)	720 (s)	925 (m) 835 (m)
DOC-2ep-IAC	V. br	2765 (s)	1440 (s)	720 (s)	905 (m) 810 (m)
DDE-2ep-IAC	V. br	2700 (s)	1452 (s)	735 (s)	905 (m) 825 (m)
DDO-2ep-IAC	V. br	2774 (s)	1458 (s)	720 (s)	920 (m) 750 (m)
DTE-2ep-IAC	V. br	2763 (s)	1424 (s)	715 (s)	910 (m) 808 (w)
DOC-4my-IAC	V. br	2720 (s)	1454 (s)	720 (s)	930 (m) 830 (m)
DDE-4my-IAC	V. br	2754 (s)	1430 (s)	715 (s)	985 (m) 820 (m)
DDO-4my-IAC	V. br	2765 (s)	1460 (s)	720 (s)	975 (m) 785 (m)
DTE-4my-IAC	V. br	2820 (s)	1450 (s)	740 (s)	855 (m) 790 (m)

Abbreviation: V. br, very broad; s, strong; m, moderate; w, weak.

토그래피의結果, N→O acylmigration試驗結果, 赤外線吸收스펙트럼의檢討 및 元素分析의結果 등을綜合하여 檢討하면 제4차 암모늄鹽型誘導體類의化學構造를 알 수 있다.

IV. 結論

本研究의結果를要約하면 다음과 같다.

1. my-II을 Adams觸媒存在下空氣酸化하여 my-Io를 얻고 塞酸으로酸化하여 ep-Io를 얻었다.
2. my-IOP을 Raney nickel觸媒下水素化하여 sc-IA을 얻고 酸化白金觸媒下水素化하여 my-IA2를 얻었다. 한편 ep-Io를 酸化白金觸媒下水素化하여 ep-IA2를 얻고 ep-Io oxime을 sodium amalgam으로還元하여 my-IA4를 얻었다.
3. sc-IA, my-IA2, ep-IA2 및 my-IA4等4種의 inosamine類에 대하여 formaldehyde 및 포름酸을反應시켜 DAI類를 얻었다.
4. DAI類에 대하여 炭素原子數8~14範圍의 octyl decyl, dodecyl 및 tetradecyl基等을 각각導入하여 암모늄鹽型化合物에該當하는 16種의 DA-IAC類에到達시켰다.

文獻

本報는界面活性劑의合成에 관한研究(第17報)임.

- 前報(第16報)는 Inha University, R.I.S.T., 15, 印刷中(1987).
1. 孫周煥, 南基大, Inha University, R.I.S.T., 8, 155, 163(1981); 10, 123, 135(1982); 大韓化學會誌, 25, 283(1981); 26, 49(1982).
 2. 孫周煥, 李昌燮, Inha University, R.I.S.T., 14, 337(1986); 15, 印刷中.
 3. K. Heyns and H. Paulsen, Chem. Ber., 86, 833(1953).
 4. R. Adams, V. Voorhees and R. L. Shriner, "Org. Synth., Coll. Vol. 1," 2nd Ed., P. 463, John Wiley & Sons, New York, U.S.A., (1941).
 5. T. Posternak, Helv. Chim. Acta, 19, 1333(1936).
 6. T. Posternak, Helv. Chim. Acta, 24, 1045(1941).
 7. E. L. May and E. Mosettig, J. Org. Chem., 14, 1137(1949).
 8. H. E. Carter, R. K. Clark, Jr., B. Lytle and G. E. McCasland, J. Biol. Chem., 175, 683

- (1948).
9. G. H. Latham, Jr. E. L. May and E. Mosettig, *J. Amer. Chem. Soc.*, **74**, 2684(1952).
 10. L. Anderson and H. A Lardy, *J. Amer. Chem. Soc.*, **72**, 3141(1950).
 11. T. Suami and K. Yabe, *Bull. Chem. Soc. Japan*, **38**, 855(1965).
 12. Straube-Rieke, H. A. Lardy and L. Anderson, *J. Amer. Chem. Soc.*, **75**, 694(1953).
 13. G. F. Holland, R. C. Durant, S. L. Friess and B. Withop, *J. Amer. Chem. Soc.*, **80**, 6031 (1958).
 14. S. J. Angyal, D. J. McHugh and P. T. Gilham, *J. Chem. Soc.*, 1430(1950).
 15. W. E. Trevelyan, D. P. Proctor and J. S. Harri-
 - son, *Nature*, **166**, 444(1950).
 16. K. Iinuma, S. Kondo, K. Maeda and H. Umezawa, *Bull. Chem. Soc. Japan*, **50**, 1850(1977).
 17. F. G. Fischer and H. Dorfel, *Hoppe-seyler's Z. physiol. Chem.*, **301**, 224(1955).
 18. J. Waters and W. Kupter, *Anal. Chim. Acta*, **85**, 241(1976).
 19. E. L. Gadsen, C. H. Edwards and G. A. Edwards, *Anal. Chem.*, **32**, 1415(1969).
 20. R. J. Block, E. L. Durrum and G. Eweig, "Mannual of Paper Chromatography and Paper Electrophoresis," P. 408, Academic Press, New York, U.S.A., 1958.
 21. C. Fromegeot, M. Jutiss, D. Heyer and L. Penasse, *Compt. Rend.*, **230**, 1905(1950).